

بورسی خشکسالی هیدرولوژیکی حوضه آبخیز سد زاینده رود با شاخص SWSI

داریوش رحیمی^{۱*}، زهرا محمدی^۲

^۱دانشیار گروه اقلیم‌شناسی، دانشکده علوم جغرافیایی و برنامه‌ریزی، دانشگاه اصفهان
^۲دانشجوی دکتری، آب و هواشناسی سینوبتیک، دانشکده علوم جغرافیایی و برنامه‌ریزی، دانشگاه اصفهان
تاریخ دریافت: ۹۴/۹/۹؛ تاریخ پذیرش: ۹۴/۱۲/۴

چکیده

خشکسالی به عنوان یک پدیده طبیعی به ویژه در مناطقی با اقلیم خشک بارش مانند ایران از چالش‌های بسیار مهم در تأمین آب هست. در این مقاله به کمک شاخص تأمین آب‌های سطحی (SWSI) خشکسالی هیدرولوژیک حوضه برسی گردیده است. جهت تحلیل خشکسالی هیدرولوژی از داده‌های بارش، آب معادل برف، متوسط دما، دبی و حجم ذخیره دریاچه سد زاینده‌رود در دوره زمانی ۱۳۶۶-۸۸ به صورت ماهانه و سالانه استفاده شده است. متداول‌ترین مقاله مبنی بر شاخص‌های خشکسالی SWSI، SPI، SDI، R_R² و تکنیک‌های زمین‌آمار، تحلیل روند و ضریب همبستگی هست. نتایج نشان می‌دهد طبق شاخص SWSI در سال‌های ۱۳۶۶-۸۸، ۷ سال وضعیت خشکسالی (۳۱ درصد)، ۱۰ سال در وضعیت نرمال (۴۳ درصد) و ۶ سال در وضعیت مربوط (۲۶ درصد) قرار دارند؛ همچنین سال ۱۳۷۸ با $SWSI = -0.78$ و سال ۱۳۷۱ با $SWSI = -0.88$ مربوط‌ترین سال هست. علاوه بر آن، تحلیل مقایسه‌ای داده‌های بارش، دبی، ذخیره حجم دریاچه، روند افزایشی دما و مقادیر آب معادل برف نشان می‌دهد که همپوشانی مناسبی بین متغیرهای مدل SWSI و خشکسالی‌های اقلیمی وجود دارد ($r=0.78$) در واقع طبق شاخص‌های استخراجی خشکسالی نقش مؤثری در کاهش ضریب جریان حوضه و دبی پایه آن دارد؛ به عنوان نمونه کاهش بارش سالانه مهم‌ترین ایستگاه حوضه (ایستگاه کوهرنگ) از متوسط ۱۴۲۰ میلی‌متر سالانه به ۷۵۰ میلی‌متر در سال ۱۳۸۷ و تداوم خشکسالی در ۵ سال بعد از آن (۱۳۸۷-۹۱) با کاهش تجمعی بارش سالانه ۲۳۵۰ میلی‌متر منجر به افت ۳۳ درصدی دبی در ورودی سد (از ۴۶ متر به ۲۴ متر ممکن) گردیده است. آثار زیان‌بار این خشکسالی‌ها در اثر فاکتورهای مدیریتی و دخلات‌های انسانی تشدید شده که با توجه به غیرقابل‌پیش‌بینی بودن ولی تکرار پذیری آن به ویژه در چارچوب پذیره گرمایش جهانی در حوضه آبی زاینده‌رود پیشنهاد می‌شود در راهبردهای مدیریت منابع آب حوضه زاینده‌رود تجدیدنظر جدی صورت گیرد و بجای انتخاب راهبردهای مبتنی بر فرافکنی و تأمین آب به سمت راهبرد اصلاح الگوی مصرف رفت؛ چراکه ادامه روند راهبرد تأمین آب تنها مصرف بیشتر، ناپایداری شدیدتر اکوسیستم‌های انسانی و طبیعی موجود در حوضه را به دنبال خواهد داشت.

واژه‌های کلیدی: خشکسالی، خشکسالی هیدرولوژیکی، شاخص ذخیره آب‌های سطحی (SWSI)، تداوم خشکسالی هیدرولوژیکی، آبخیز سد زاینده‌رود

پنهنه در همان بازه زمانی (مسعودیان، ۱۳۹۰: ۱۳۳). پنهنه در بالادست حوضه سد زاینده‌رود طی سال‌های اخیر با خشکسالی‌های با شدت بالا رویرو بوده است. این خشکسالی‌ها آثار خسارت‌بار زیادی از لحظه هیدرولوژیکی، زیست‌محیطی، اقتصادی و اجتماعی به دنبال داشته است. کاهش حجم آب سد زاینده‌رود و حجم جریان، افت شدید سطح ایستابی، بایر شدن پنهنه زیادی از اراضی کشاورزی، محدود شدن

مقدمه

طرح مسئله: خشکسالی یکی از مخاطرات طبیعی است که نتایج و اثرات آن بر حوزه‌های اجتماعی، اقتصادی، منابع آب و کشاورزی می‌تواند به صورت یک فاجعه آشکار شود. خشکسالی به معنای اقلیمی آن یعنی کاهش بارش یک بازه زمانی معین بر روی یک پنهنه مشخص نسبت به میانگین بلندمدت بارش همان

اصلاح شده SWSI برای بررسی خشکسالی کره جنوبی و پیش‌بینی خشکسالی استفاده کردند. نتایج ارزیابی نشان داد که بزرگ‌ترین خشکسالی ثبت شده منطقه مربوط به سال ۲۰۰۱ هست. عراقی‌نژاد (۲۰۱۱)، در مقاله‌ای روشی را برای پیش‌بینی و کنترل خشکسالی هیدرولوژیک حوضه رودخانه زاینده‌رود ارائه داده است که به گفته‌ی وی می‌تواند نقایص شاخص ذخایر آب سطحی (SWSI) را بهبود بیخشد. بالینگ (Balling) و همکاران (۲۰۰۷)، تأثیر عوامل خشکسالی در حوضه کلرادو را بررسی و مشخص نمودند که نوسانات اقیانوس آرام (PDO) که بیشترین واریانس را با (PHDI) دارد، نوسانات جنوبی (ENSO)، نوسانات اقیانوس اطلس (AMO) و درجه حرارت سیاره بر روی حوضه تأثیر دارد. شبان (Shaban) (۲۰۰۸)، خشکسالی هیدرولوژی را در لبنان مطالعه کرد. مقایسه شاخص خشکسالی هیدرولوژیکی نشان داده منابعی که تحت تأثیر فعالیت‌های انسان هستند مانند رودخانه‌ها و آبهای زیرزمینی کاهشی حدود ۲۹-۲۳ درصد را داشته‌اند و منابعی که کمتر تحت تأثیر فعالیت‌های انسان است مانند پوشش برف و بارش باران و برف کاهشی حدود ۱۶-۱۲ درصد دارند که حاکی از تأثیر فعالیت‌های بشر بر منابع آب است. ادوسا (Edossa) و همکاران (SPI) (۲۰۰۹)، با استفاده از شاخص خشکسالی (SPI) ارتباط بین شاخص‌های خشکسالی هواشناسی و هیدرولوژیک در کشور ایتالی مشخص نمودند که قوع پدیده خشکسالی هیدرولوژیک در ایستگاه اندازه‌گیری جریان ملکا سدی با میانگین تأخیری هفت‌ماهه از رویداد خشکسالی هواشناسی در آواش (Awash) روی می‌دهد که یک تنوع ۳ تا ۱۳ ماهه دارد. شهرابی و همکاران (۲۰۱۲) به کمک شاخص‌های مختلف خشکسالی منطقه آیداهو در ایالت متحده آمریکا را بررسی کردند. نتایج یک کاهش روند و افزایش روند را به ترتیب برای بارش و دما نشان می‌دهد. رحیمی و همکاران (۲۰۱۱)، با بررسی شدت خشکسالی‌های استان چهارمحال و بختیاری تأثیرات آن را روی دبی رودخانه کارون بررسی و نتیجه گرفتند

فعالیت‌های صنعتی و بهویژه توربیستی از مهم‌ترین پیامدهای این خشکسالی‌ها هست.

تحلیل ماهیت ساختار این مشکلات یکی از دغدغه‌های اصلی مردم، دولتمردان و بهره‌برداران سنتی این حوضه آبی است که دامنه وسیعی از عوامل هم چون مدیریتی، برداشت نامناسب از منابع آب، گسترش حوضه آبخور زاینده‌رود فراتر از حوضه طبیعی آن، تغییرات اقلیمی و خشکسالی‌های متوالی را در آن مؤثر می‌دانند. این پژوهش بر آن است، به نقش خشکسالی‌ها در متغیر هیدرولوژیکی و حجم جریان در بالادست سد زاینده‌رود، به عنوان برونداد اصلی خشکسالی‌ها و عامل تنفس مشکلات توجه کند. خشکسالی اندیشه مختلفی همچون اقلیمی، هیدرولوژیکی، کشاورزی و قحطی را شامل می‌شود (حجازی زاده و جوی زاده، ۱۳۸۹: ۸). خشکسالی اقلیمی که به کاهش بارش نسبت به میانگین دوره مشخصی در یک منطقه اطلاق می‌گردد عامل شکل‌گیری سایر خشکسالی‌ها از جمله خشکسالی هیدرولوژیکی هست.

مفاهیم دیدگاه‌ها و مبانی نظری: با توجه به آشکار شدن سریع آثار خشکسالی اقلیمی بر منابع آب، خشکسالی‌های هیدرولوژیکی همواره مورد توجه پژوهشگران بوده است؛ از جمله می‌توان به کار بنیادی شفر و دزمان (Shafer & Dezman, 1982) اشاره نمود. این دو به منظور تکمیل شاخص پالمر برای شرایط رطوبتی اراضی ایالت کلرادو شاخص SWSI را تهیه کردند. این پارامتر به عنوان شاخصی برای شرایط آب‌های سطحی طراحی شده و از آنجاکه مقدار برف کوهستان‌ها در آن، مؤلفه مهمی به حساب می‌آید به عنوان "شاخص وابسته به آب کوهستان" توصیف شده است. گارن (Garen) (۱۹۹۳) از شاخص SWSI در غرب ایالات متحده استفاده کرد. نتایج این پژوهش نشان داد که این شاخص جهت پایش خشکسالی در غرب ایالات متحده به دلیل نقش برف در رواناب مناطق کوهستانی مناسب است. جونگ ون (Kwon. Joong) و همکارانش (۲۰۰۹) و یونگ او کیم (Kim.Oh. Young) و همکاران (۲۰۱۲)، از شاخص

خشکسالی آبهای جاری تقریباً در تمام ایستگاهها در سال‌های ۲۰۰۱-۲۰۰۰ رخ داد. کریمی و همکاران (۱۳۹۴) به بررسی خشکسالی هیدرولوژیکی با روش حد آستانه ثابت بر روی حوضه آبخیز کرخه پرداختند. نتایج نشان داد بیشترین حجم کمبود و بیشترین تداوم خشکسالی در حد آستانه ۷۰ و ۸۰ درصد در بیشتر ایستگاهها بعد از آن سال ۱۳۷۷ رخ داده است، درنهایت توزیع‌های احتمالاتی مناسب برای سری‌های حداقل حجم کمبود، توزیع جانسون، بیشترین فراوانی و برای سری‌های حداقل تداوم، توزیع نمایی دوگانه و جانسون هر یک دارای بیشترین فراوانی در بین سایر توزیع‌ها می‌باشد.

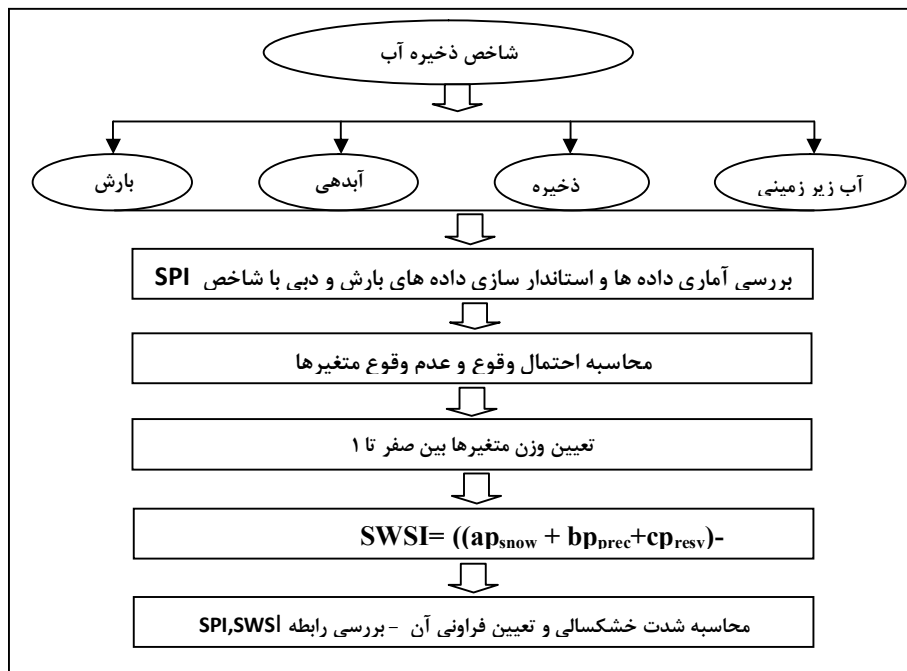
رودخانه زاینده‌رود به عنوان تنها رودخانه دائمی ایران مرکزی در سال‌های اخیر با مشکلات متعددی از جمله خشک شدن کامل رودخانه روبرو بوده است، بهنحوی که این رودخانه تبدیل به یک رود غیر دائمی شده و بدین آثار شدید و بحران‌های بزرگی در محدوده حوضه مذکور ایجاد نموده است. در این مقاله تلاش بر آن است تا ضمن شناخت شدت خشکسالی هیدرولوژیک در بالادست رودخانه زاینده‌رود، علت کاهش منابع آب نیز بررسی گردد.

روش‌ها و چهارچوب نظری تحقیق روش تحقیق در این پژوهش از نوع اسنادی و تحلیل روابط آماری بر روی داده‌های بارش، ذخیره برف، دبی و مخازن سدها هست و برای این منظور از نرم‌افزارهای S-PLUS و Excel و MiniTab استفاده شده است. نمودار ۱ مدل مفهومی انجام کار را نشان می‌دهد.

شاخص تأمین آب سطحی (SWSI): متدائل‌ترین شاخص خشکسالی هیدرولوژیکی در مناطقی که برف منشأ عمده‌ی جریانات سطحی است شاخص (SWSI) هست. استفاده از این شاخص نخستین بار توسط Shafer و Dezman (۱۹۸۲) جهت تکمیل پایش خشکسالی در ایالت کلرادو در آمریکا که ذخیره برف منبع عمده تأمین آب در منطقه است پیشنهاد گردید.

که بین مقادیر استانداردشده بارش و دبی مقدار ضریب تعیین برابر با ۵۶ درصد است بدین معنی که در دوره خشکسالی‌های اقلیمی مقادیر دبی تا ۵۶ درصد کاهش پیدا می‌کند.

شهرخوندی و همکاران (۱۳۸۸)، در مقاله‌ای به بررسی خشکسالی هیدرولوژیک و ارتباط آن با بارش در حوضه رودخانه خرم‌آباد پرداختند. با بررسی نتایج مشخص شد که خشکسالی‌های اقلیمی حداقل با تداوم‌های یک تا سه ماهه و خشکسالی‌های هیدرولوژیک حتی در تداوم‌های پنج تا دوازده ماهه نیز مشاهده می‌شوند. تاتینا و همکاران (۱۳۸۹)، به پایش و پهنه‌بندی خشکسالی در گیلان پرداختند. نتایج نشان داد که خشکسالی به طور متناوب و با سیکل‌های نسبتاً منظم در منطقه اتفاق می‌افتد. فراوانی وقوع خشکسالی در ایستگاه‌های مرتبط و خشک باهم متفاوت بوده و فراوانی وقوع خشکسالی در شدت‌های متوسط و شدید نسبت به ایستگاه‌های مرتبط بیشتر رخ می‌دهد. گل محمدی و مساح بوانی (۱۳۹۰)، تغییرات شدت و دوره بازگشت خشکسالی حوضه قره‌سو (با استفاده از شاخص SPI) را بررسی نمودند. مقایسه نتایج حاکی از این است که حوضه در دوره ۲۰۴۰-۲۰۶۹ میلادی شاهد افزایش بارش و بهتیغ آن کاهش شدت خشکسالی نسبت به دوره پایه خواهد بود. نصرتی و همکاران (۱۳۹۰)، به پایش روزانه خشکسالی و منابع آب در اقلیم‌های مختلف ایران پرداختند. نتایج نشان داد شاخص خشکسالی مؤثر، مستقل از ویژگی‌های اقلیمی منطقه، شاخص مناسبی در شناخت وضعیت خشکسالی در مقیاس روزانه است. همچنین شاخص منابع آب قبل دسترس، اثرات خشکسالی را به عنوان تابعی از افت روزانه حاصل از تأثیر بارندگی در منابع آب منطقه به‌وضوح نشان می‌دهد. نیکبخت و همکاران (۱۳۹۰)، به تجزیه و تحلیل شدت خشکسالی آبهای جاری به‌وسیله شاخص درصد نرمال (PNI) در شمال غرب ایران پرداختند نتایج نشان می‌دهد که بدترین



نمودار ۱: مدل مفهومی روش تحقیق

شناخت از رفتارهای هیدرولوژیکی حوضه، مشخصات فیزیوگرافی و نظرات کارشناسی مبتنی بر مطالعات پایه هیدرولوژی و اقلیم‌شناسی و مدیریت منابع آب حوضه و $a + b + c + d = 1$. P_i نیز احتمال تجاوز برای متغیر آام (برف (snow)، باران (prec)، رواناب (strm) و مخزن (s)) است. معادله بالا، تفاضل عدد ۵۰ در صورت کسر برای آن است که مقادیر شاخص حول صفر متقارن باشد. همچنین با تقسیم بر عدد ۱۲، مقادیر شاخص بین ۴,۲ و ۴,۲ + قرار می‌گیرد (شفر و دژمان، ۱۹۸۲).

داده‌ها پژوهش: با توجه به این که از شاخص SWSI استفاده می‌گردد لذا داده‌های مورد استفاده شامل بارش، دبی، آب معادل برف و مخازن آبی ثبت شده در سطح حوضه است. جدول (۲) مشخصات داده‌ها و ایستگاه‌های استفاده شده را نشان می‌دهد. پس از گردآوری این داده‌ها پایگاه داده‌های آن در نرم‌افزار Excel تهیه گردید و سپس میانگین بلند مدت روزانه، ماهانه و سالانه و درصد احتمال وقوع آن محاسبه شد و نمودارهای آن تهیه گردید.

هدف از تدوین شاخص SWSI، به دست آوردن معیاری برای تعیین مقدار آب موجود در مناطق کوهستانی و امکان مقایسه مناطق مختلف باهم است. علاوه بر تعیین شدت خشکسالی‌های به وقوع پیوسته در منطقه، با کمک این شاخص می‌توان وضعیت آینده را پیش‌بینی نمود. برای انجام پیش‌بینی به کمک SWSI، کافی است به جای هر کدام از متغیرهای به کار رفته در رابطه، مقادیر پیش‌بینی آن پارامتر را در نظر گرفت (۳). در شاخص تأمین آب سطحی (SWSI)، چهار پارامتر موردنظر است. این داده‌ها عبارت‌اند از: ذخیره برفی، جریان رودخانه‌ای، بارش و حجم مخازن سطحی آب. مقدار شاخص SWSI با استفاده از رابطه ۱ محاسبه می‌گردد:

$$SWSI = \frac{a * P_{snow} + b * P_{prec} + c * P_{strm} + d * P_{resv} - 50}{12}$$

رابطه ۱:

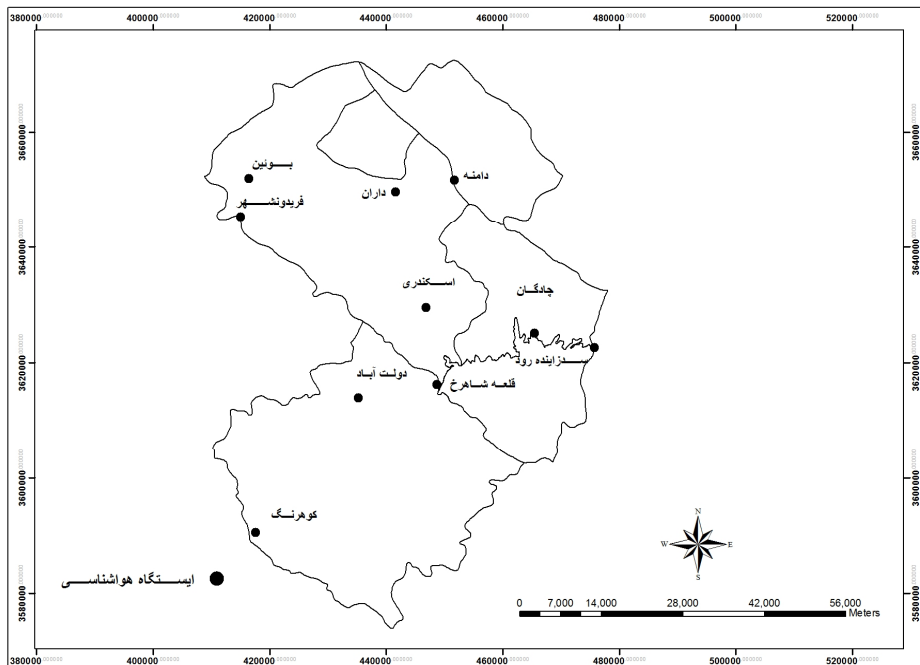
در رابطه فوق، a, b, c و d وزن هر یک از اجزاء در نظر گرفته شده در محاسبه SWSI است که بر اساس

جدول ۱: مقادیر شاخص SWSI (Shafer & Dezman 1982)

وضعیت هیدرولوژیکی	مقادیر شاخص SWSI	وضعیت هیدرولوژیکی	مقادیر شاخص SWSI
خشکی کم	-۲	خیلی تر	+۴
خشکی زیاد	-۳	تری کم	+۲
خشکی شدید	-۴	نزدیک نرمال	-۱

در حوضه مورد مطالعه نزدیک به ۱۵ سد یا بند خاکی با حجم متفاوت وجود دارد. بیشتر این سدها به منظور تأمین آب کشاورزی ساخته شده‌اند و مجموع حجم این سدها ۲,۹۶۰,۰۰۰ مترمکعب است که یک ذخیره خوب آبی برای حوضه محسوب می‌گردد (اداره کل منابع طبیعی و آبخیزداری ۱۳۹۳) (جدول ۳).

داده‌های ذخیره مخزن سد: سد به دو نوع سدهای بزرگ و سدهای کوچک (خاکی) تقسیم می‌شوند که در حوضه مورد مطالعه هر دو نوع آن‌ها وجود دارد. سد زاینده‌رود تنها سد بزرگ حوضه است که در این پژوهش از حجم و دبی ورودی این سد استفاده شده است. جدول (۳)، مشخصات سد زاینده‌رود را ارائه داده است.



شکل ۱: نقشه موقعیت ایستگاه‌های هواشناسی حوضه

جدول ۲: مشخصات ایستگاه‌های هواشناسی حوضه (سازمان هواشناسی)

عنصر	نوع ایستگاه	دوره آماری	ارتفاع(متر)	عرض جغرافیا	طول جغرافیا	نام ایستگاه
باران-برف	سینوپتیک	۱۳۶۶-۱۳۸۸	۲۲۸۵	۳۲ ۲۶	۵۰ ۰۷	کوهزنگ
باران	سینوپتیک	۱۳۶۸-۱۳۸۸	۲۲۹۰	۳۲ ۵۸	۵۰ ۲۲	داران
باران	کلیماتولوژی	۱۳۸۱-۱۳۸۸	۲۴۹۰	۳۲ ۵۶	۵۰ ۰۶	فریدون شهر
باران	کلیماتولوژی	۱۳۴۵-۱۳۸۸	۲۳۰۰	۳۳ ۰۱	۵۰ ۲۹	دامنه
باران	کلیماتولوژی	۱۳۸۲-۱۳۸۸	۲۱۰۰	۳۲ ۴۶	۵۰ ۳۸	چادگان
باران-دیبی	تبخیر سنگی	۱۳۴۹-۱۳۸۸	۲۱۴۰	۳۲ ۴۱	۵۰ ۲۷	قلعه شاهرخ
باران-دیبی	تبخیر سنگی	۱۳۵۵-۱۳۸۸	۲۱۲۰	۳۲ ۴۹	۵۰ ۲۶	اسکندری
باران	تبخیر سنگی	۱۳۴۵-۱۳۸۸	۱۹۵۰	۳۲ ۴۴	۵۰ ۴۴	سد زاینده رود
باران	تبخیر سنگی	۱۳۷۱-۱۳۸۸	۲۵۵۰	۳۲ ۳۹	۵۰ ۱۷	دولت آباد
باران	تبخیر سنگی	۱۳۷۰-۱۳۸۸	۲۴۰۰	۳۳ ۰۰	۵۰ ۰۶	بوئین

اداره کل هواشناسی و آب منطقه‌ای استان چهارمحال و بختیاری و اصفهان

جدول ۳: مشخصات سد زاینده رود

طول دوره آماری	مینیمم حجم (m³)	متوسط حجم (m³)	ماکریم حجم (m³)	ارتفاع (m)	عرض	طول	نام سد
۱۳۵۰-۱۳۹۰	۱۹۰/۹۴	۸۸۹/۲۳	۱۲۷۷/۱۷	۲۱۶۰	۳۲ ۴۴	۵۰ ۴۴	زاینده رود

شرکت آب منطقه‌ای استان اصفهان

ادامه جدول ۳- مشخصات سدهای خاکی موجود در حوضه آبخیز سد زاینده رود (هزار مترمکعب)

۱۰	۱۱	۱۲	۱۳	۱۴	۱۵	۱۶	۱۷	۱۸	۱۹	۲۰	۲۱	۲۲	۲۳	۲۴
۲۰	۲۱	۲۲	۲۳	۲۴	۲۵	۲۶	۲۷	۲۸	۲۹	۳۰	۳۱	۳۲	۳۳	۳۴

اداره کل منابع طبیعی و آبخیزداری استان چهارمحال و بختیاری

در شاخص SWSI وزن اجزاء از حوضه‌ای به حوضه دیگر متفاوت است به همین دلیل است نمی‌توان دو حوضه را به وسیله این شاخص با یکدیگر مقایسه نمود. در فرمول اصلی که توسط شفر و دژمان (۱۹۸۲) ارائه گردیده است در هر فصل از سه عنصر استفاده گردیده است و در واقع عنصر رواناب در فصل گرم به جای عنصر برف استفاده گردیده ولی در این پژوهش در هر دو فصل از چهار عنصر هم‌زمان استفاده گردید. دلیل این کار نقش برف در تأمین رواناب در فصل گرم است؛ زیرا در فصل گرم برفی که در ارتفاعات ذخیره گردیده است با ذوب شدن بخشی از رواناب را تأمین می‌کند. اما به دلیل نقش کمتری که نسبت به زمستان دارد در فصل گرم وزن کمتری به آن اختصاص داده شده و

وزن اجزاء پژوهش: برای محاسبه شاخص در SWSI در ابتدا به هر یک از اجزاء وزن می‌دهیم. وزن هر یک از عناصر با توجه به نقش آن‌ها در تأمین رواناب حوضه محاسبه می‌گردد و درواقع کاری تجربی است و به تجربه‌ی خود محقق بستگی دارد. برای اختصاص وزن به هر یک از اجزاء در ابتدا سال به دو فصل سرد و گرم تقسیم گردید این موضوع به این دلیل است که وزن اجزاء به کارفته در شاخص در فصل سرد و گرم متفاوت است. هر کدام از اجزاء در فصول مختلف دارای اهمیت متفاوت می‌باشند. در حوضه موردمطالعه فصل سرد ماههای آبان، آذر، دی، بهمن، اسفند و فروردین و فصل گرم نیز شامل ماههای اردیبهشت، خرداد، تیر، مرداد، شهریور و مهر می‌شود.

در فصل گرم و سرد نشان می‌دهد.
مجموع وزن‌های هر فصل برابر یک است. جدول (۴)،
مقدار وزنی اختصاص داده شده به هر یک از اجزاء را

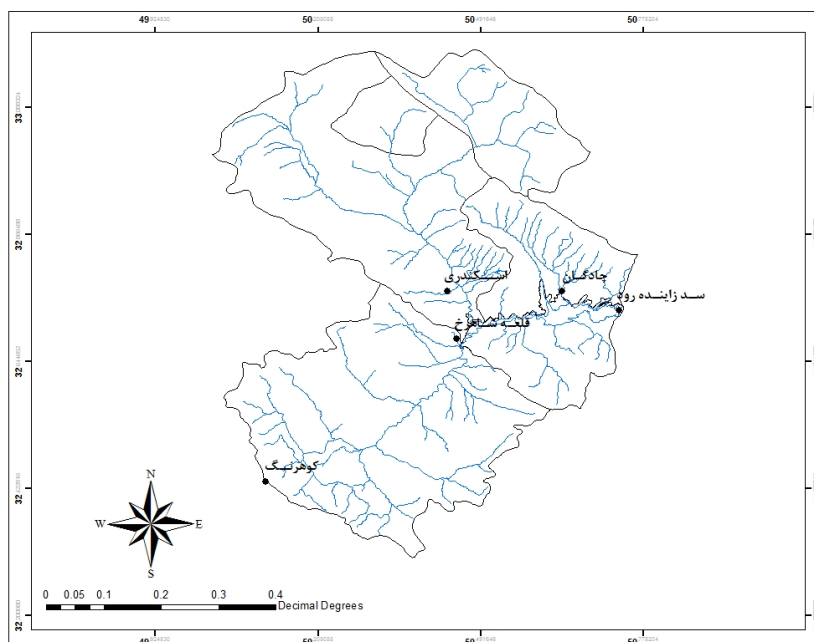
جدول ۴: وزن عناصر هیدرولوژیک در SWSI ماهانه و فصلی حوضه آبخیز زاینده‌رود

فصل	برف	بارش	دبي	ذخیره سد
گرم	۰/۱	۰/۲۵	۰/۴	۰/۲۵
سرد	۰/۳۵	۰/۳۵	۰/۲	۰/۱

محاسبات نگارندگان

مناطقی با مختصات $۵۴^{\circ} ۴۹^{\prime}$ تا $۴۵^{\circ} ۵۰^{\prime}$ طول
شرقی و $۱۸^{\circ} ۳۲^{\prime}$ تا $۱۲^{\circ} ۳۳^{\prime}$ عرض شمالی قرار
گرفته است (شکل ۱).

محدوده جغرافیایی پژوهش: منطقه مورد بررسی
حوضه آبخیز سد زاینده‌رود است که با مساحت
۴۲۶۲ کیلومتر مربع و محیط ۳۶۲ کیلومتر در



شکل ۱: موقعیت جغرافیایی حوضه آبخیز سد زاینده‌رود

مخازن، تحت تأثیر شرایط بالادست و تغییرات حوضه در آن محل است. آب‌های زیرزمینی نیز تابع تغذیه از آب‌های سطحی و جریانات ورودی زیرزمینی قرار دارد (کارآموز و عراقی‌نژاد، ۱۳۸۹: ۳۷۹). خشکسالی‌های رخداده در حوضه آبی زاینده‌رود یکی از چالش برانگیزترین خشکسالی‌ها در کشور است که دلایلی متعددی را برای آن بر می‌شمارند. در ادامه تغییرات عناصر هیدرو اقلیمی مؤثر بر خشکسالی

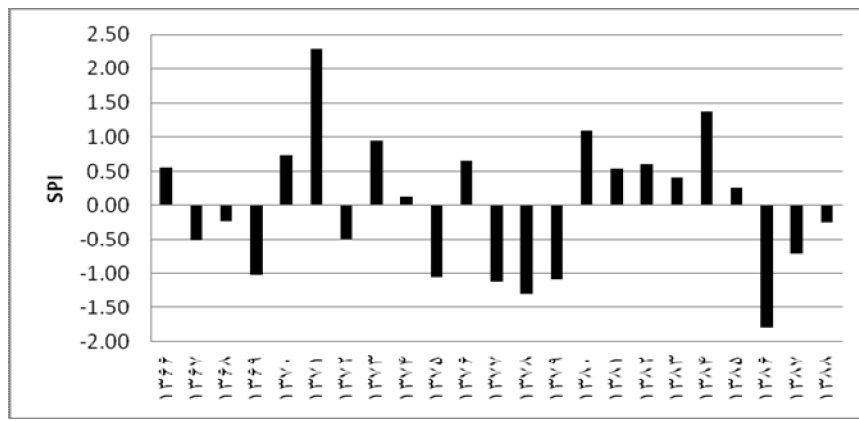
بحث

برای مصرف‌کنندگان آب، خشکسالی هنگامی اتفاق می‌افتد که تأمین آب کم شود. خشکسالی هیدرولوژیکی، حاصل کمبود بارش مؤثر در دوره‌های قبلی است. پایش خشکسالی هیدرولوژیک با استفاده از اطلاعات اندازه‌گیری شده در ایستگاه‌های هیدرومتری (اطلاعات جريان رودخانه)، تراز آب دریاچه‌ها و مخازن سدها و همچنین سطح آب‌های زیرزمینی انجام می‌گیرد. اطلاعات جريان و تراز آب

به اهمیت خشکسالی اقلیمی، نخست با استفاده از شاخص SPI خشکسالی اقلیمی حوضه بررسی گردید، شکل (۲). طبق این نمودار خشکترین سال حوضه سال ۱۳۸۶ است و مرطوبترین سال ۱۳۷۱ است که میزان SPI آن‌ها به ترتیب برابر با -1.79 و 2.29 است. با توجه به اهمیت بارش در تأمین رواناب حوضه وزن این عنصر در فصل سرد وزن 0.35 و در فصل گرم 0.30 در نظر گرفته شده است.

هیدرولوژیکی در چارچوب مدل SWSI بررسی شده است.

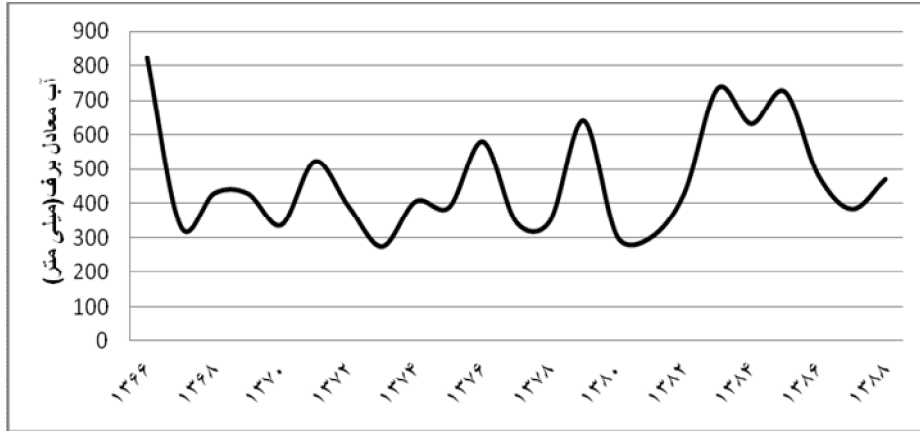
بارش حوضه: میانگین سالانه بارش حوضه 500 میلی‌متر است. ایستگاه کوهرنگ با 1400 میلی‌متر بیشترین و ایستگاه سد زاینده‌رود با 237 میلی‌متر کمترین بارش حوضه را دارد؛ بنابراین دامنه تغییرات مکانی بین سرچشمه و خروجی سد زاینده‌رود برابر با 1163 میلی‌متر است. در این حوضه، حدود 50 درصد از کل بارش سالانه در فصل زمستان می‌بارد. با توجه



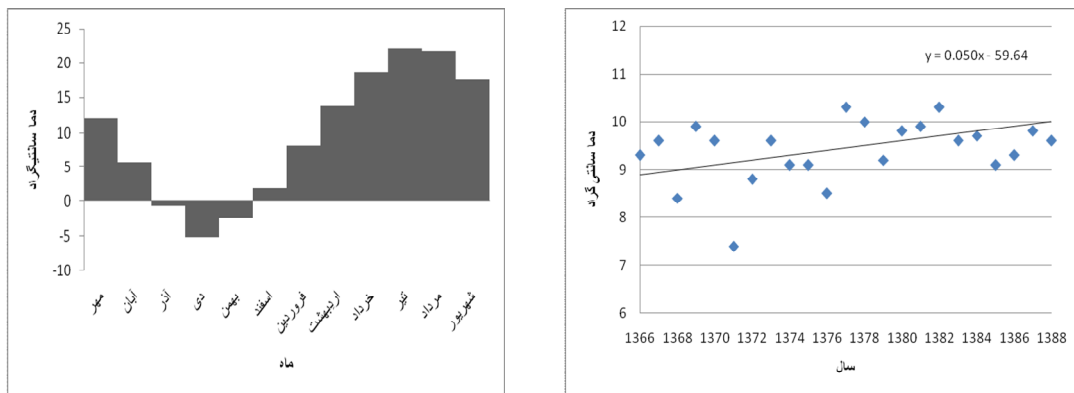
شکل ۲: مقدار SPI سالانه حوضه آبخیز سد زاینده‌رود

درصد با آزمون ناپارامتری من-کندال بررسی گردید با توجه به مقدار ضریب برآورده آن $Z=0.61$ داده‌ها به صورت تصادفی بوده و فاقد روند هستند. بررسی تغییرات ماهانه آب معادل برف حوضه نشان می‌دهد که در ماه‌های خرداد، تیر، مرداد، شهریور، مهر و آبان به حداقل، ماه‌های اسفند، فروردین و اردیبهشت به حداقل و ماه‌های آذر، دی و بهمن انباست برف در حوضه می‌باشند. این نوسانات با آهنگ ماهانه دمای منطقه در حد زیادی همساز است بر اساس نتایج آزمون روند، دما در سطح اطمینان 95 درصد با ضریب $Z=2/38$ دارای روند معنی‌دار است شکل ۴. جهت تعیین نقش برف در مدل SWSI در فصل ذوب (اسفند، فروردین، اردیبهشت) وزن 0.40 و در فصل گرم (آبان، دی و بهمن) به دلیل کم شدن اثر این عنصر در رواناب مقدار وزن این عنصر در فرمول 0.10 در نظر گرفته شد.

ذخیره برف حوضه: در حوضه‌های آبخیز کوهستانی (ارتفاع بالاتر از 1500 متر) برف نقش مهم و مؤثری در تداوم آبده‌ی رودخانه‌ها بهویژه در مناطق خشک و نیمه‌خشک دارد؛ بنابراین تغییرات در ذخیره برف و آب معادل آن تأثیرات شدیدی بر شدت خشکسالی‌ها دارد. حوضه آبی زاینده‌رود نیز ازجمله این حوضه‌ها است. به‌منظور تعیین نقش ذخیره برف در خشکسالی‌های هیدرولوژی حوضه از داده‌های آب معادل برف ایستگاه کوهرنگ در دوره آماری $88-1366$ استفاده شده است. بررسی تغییرات آب معادل برف در ایستگاه مبنای حوضه نشان می‌دهد که حداقل آب معادل برف در سال 1366 برابر با 820 میلی‌متر و سال آبی 1384 و 1385 با 750 میلی‌متر بیشترین مقدار و سال‌های آبی 1373 ، 1378 و 1381 با حدود 300 میلی‌متر کمترین آب معادل برف را دارند (شکل ۳). روند تغییرات آب، معادل برف در ایستگاه آرمون ناپارامتری من-کندال در سطح اطمینان 95



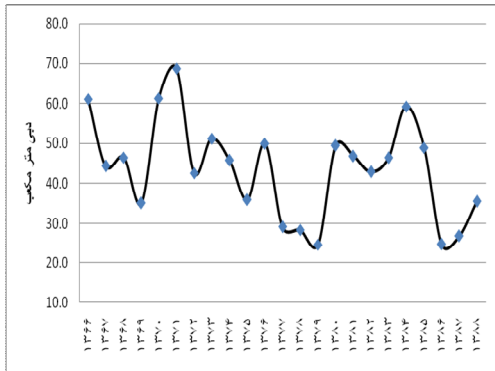
شکل ۳: مقادیر سالانه آب متعادل برف در ایستگاه کوهرنگ



شکل ۴: مقادیر دمای ماهانه و سالانه (بر حسب سانتی گراد) در ایستگاه کوهرنگ

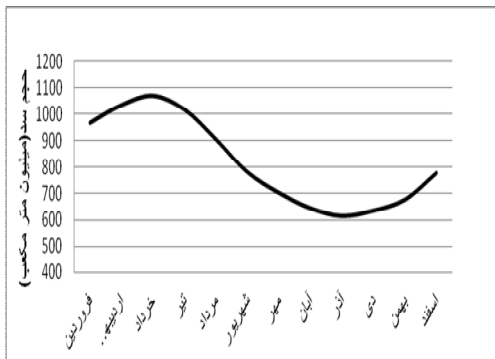
استانداردسازی داده‌های آبدی جهت تعیین شدت خشکسالی‌های اقلیمی از دیگر اقدامات انجام گرفته است. بدین منظور از شاخص SDI استفاده شده است (شکل ۶). بر اساس نتایج مستخرج شده طی دوره زمانی ۱۱ سال آن دارای ضریب SDI (منفی) خشکسالی، ۱۱ سال آن در حالت نرمال و تنها یک سال آن دارای شرایط مرطوب است. با توجه به اهمیت دبی در فصل تابستان به عنصر دبی در مدل SWSI در فصل گرم وزن 0.4^0 و در فصل سرد وزن 0.15^0 معین شده سپس مقادیر درصد احتمال وقوع برای هر سال محاسبه و در مدل استفاده گردید.

دبی حوضه: برآیند متغیرهای اقلیم‌شناسی، هیدرولوژی، کاربری اراضی و پوشش گیاهی می‌باشدند. به عبارت دیگر دبی تغییر عناصر مؤثر بر خشکسالی هیدرولوژیک را نشان می‌دهد. به منظور بررسی نوسانات دبی در حوضه‌ی آبی زاینده‌رود دبی ورودی سد در ایستگاه قلعه شاهرخ مورد بررسی قرار گرفت. متوسط ورودی سد زاینده‌رود $43/7$ مترمکعب در ثانیه طی دوره آماری ۱۳۸۸-۱۳۶۶ است. نوسانات آبدی قلعه شاهرخ نشان می‌دهد که حداقل آن در سال ۱۳۷۱ برابر با 70 مترمکعب بر ثانیه و حداقل آن برابر با 24 مترمکعب در سال‌های ۱۳۷۸، ۱۳۷۹ و ۱۳۸۶ و ۱۳۸۷ با ۲۴ مترمکعب است (شکل ۵).

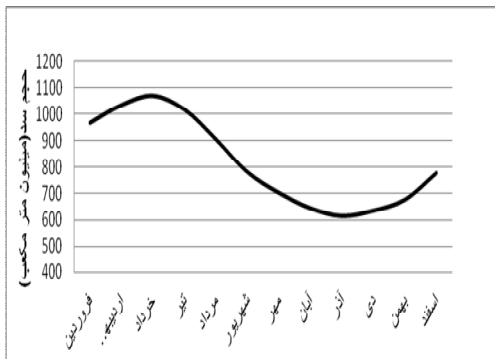


شکل ۶: مقدار SDI سالانه ورودی سد زاینده رود

(شکل ۷). نوسانات سالانه حجم دریاچه نیز نشان می‌دهد که حجم آب آن بین ۱۲۰۰ تا ۲۵۰ میلیون مترمکعب متغیر است. حداقل حجم دریاچه سد زاینده رود در سال آبی ۱۳۷۸ و ۱۳۷۹ و سال‌های آبی ۱۳۶۶ و ۱۳۸۷ و ۱۳۸۸ و حداکثر آن در سال آبی ۱۳۶۶، ۱۳۷۱ به ثبت رسیده است. با توجه به اطلاعات ذکر شده و اهمیت حجم دریاچه سد در آبدیهی رودخانه به دلیل اهمیت این ذخایر در فصل تابستان وزن ۰/۲ و در فصل زمستان ۰/۱ به ذخایر سطحی داده شده است.



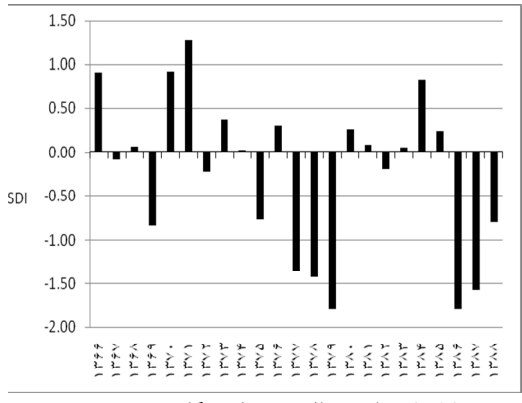
شکل ۷: مقادیر ماهانه حجم دریاچه سد زاینده رود

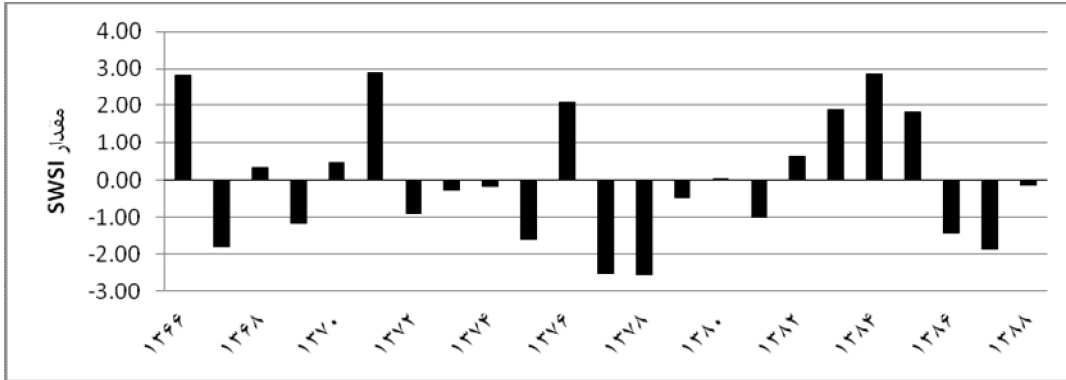


شکل ۸: مقادیر سالانه حجم دریاچه سد زاینده رود

طی دوره آماری (۱۳۶۶-۱۳۸۸) بوده است. جدول (۹)، نشان‌دهنده درصد فراوانی شدت خشکسالی هیدرولوژیک است. طبق جدول بیشترین فراوانی متعلق به وضعیت نرمال با ۴۳ درصد، پس از آن خشکسالی ضعیف با ۲۲ و متوسط با ۹ کمترین مقدار است.

SWSI سالانه حوضه: نتایج حاصل از شاخص SWSI در شکل ۹ و جدول ۹ نشان داده شده است. طبق نتایج حاصله شاخص مذکور در حوضه آبخیز سد زاینده رود بین ۲/۵ تا +۳ است. بر اساس شکل (۹) مقدار و شدت SWSI سالانه حوضه سال‌های ۱۳۷۷ و ۱۳۷۸ خشک‌ترین با شاخص ۲/۵ و سال‌های ۱۳۸۴ و ۱۳۷۱ با تقریب ۳ مرطوب‌ترین سال‌های حوضه در





شکل ۹: مقادیر سالانه SWSI حوضه آبخیز سد زاینده رود

جدول ۹: فراوانی شدت‌های خشکسالی شاخص SWSI حوضه سد زاینده رود

درصد احتمال وقوع	احتمال وقوع	فراوانی	شدت خشکسالی
۹	۰/۹	۲	خشکسالی متوسط
۲۲	۰/۲۲	۵	خشکسالی ضعیف
۴۳	۰/۴۳	۱۰	نرمال
۹	۰/۹	۲	مرطوب ضعیف
۱۷	۰/۱۷	۴	مرطوب متوسط

محاسبات: نگارنده

مقایسه دو شاخص SPI و SWSI بیانگر تأثیر خشکسالی‌های اقلیمی بر خشکسالی‌های هیدرولوژیکی است شکل (۱۰). جهت ارائه تحلیل واضح‌تری از اثرات خشکسالی‌های اقلیمی بر خشکسالی‌های هیدرولوژیکی مقدار همبسته بودن این دو شاخص با همدیگر مورد سنجش قرار گرفت (جدول ۱۰). مقدار همبستگی بین این دو شاخص در سطح معنی‌داری $0.05 / 0.78$ برابر با $0.05 / 0.78$ و ضریب تعیین آن 0.60 درصد و این ضرایب گویای تأثیرگذاری شدید خشکسالی اقلیمی بر الگوی هیدرولوژیکی حوضه است. علاوه بر آن زمان تأخیر بین خشکسالی اقلیمی و هیدرولوژیکی در حد یک الی ۲ سال است. البته اختلافی از نظر اندازه بین بلندی شکل ستونی در نمودار به چشم می‌خورد که این اختلاف ناشی از دامنه شاخص SWSI بین ۴ و -۴ و دامنه SPI بین ۲ و -۲ است. طبق نمودار ۹ در آغاز یک دوره خشک، در حوضه شدت SPI بیشتر از شاخص SWSI است ولی در انتهای دوره شدت خشکسالی هیدرولوژی بیشتر از اقلیمی است.

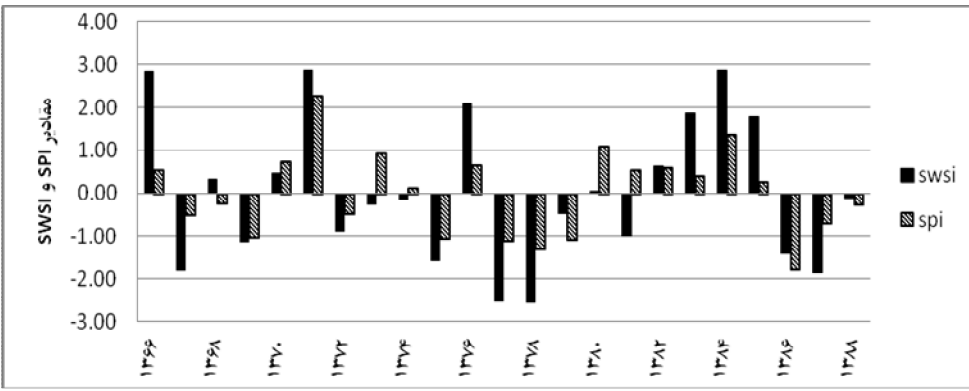
در مجموع ۳۱ درصد سال‌های مورد بررسی دارای خشکسالی می‌باشند و این بدان معنا است که این حوضه به طور متوسط هر ۳ سال، یکبار دارای خشکسالی است و این مطلب گویای ضعف توان اکولوژی حوضه و حاکمیت اقلیمی ناپایدار بوده و این در شرایطی است که تنها ۲۶ درصد سال‌های آبی شرایط مرطوب متوسط و ضعیف در حوضه وجود داشته است. به عبارت دیگر دوره‌های ترسالی به شکلی نیستند که بتوانند کسری آب حاصله را جبران نمایند و این شرایط باعث فشار بیشتر بر منابع آب تجدید ناپذیر زیرزمینی می‌شود. در واقع طبق نتایج استخراجی از شاخص‌های متعدد SPI, SDI, SWSI باید اذعان نمود که دوره‌های خشکسالی در این حوضه بایکالی دو سال مرطوب از همدیگر جداسده و بیانگر ناپایداری هر چه بیشتر منابع آب در حوضه است.

تحلیل خشکسالی‌های اقلیمی و هیدرولوژیکی
حوضه:

جدول ۱۰: همبستگی بین SPI و SWSI در حوضه سد زاینده رود

SWSI	SPI	SPI
۰/۷۸۱	۱	SPI
۱	۰/۷۸۱	SWSI

محاسبات نگارندگان



شکل ۱۰: مقایسه مقادیر SPI و SWSI سالانه حوضه سد زاینده رود

بررسی فاکتورهای مختلف نشان می‌دهد در سال‌های اخیر کاهش بارش سالانه مهم‌ترین ایستگاه حوضه (ایستگاه کوهرنگ) از متوسط ۱۴۲۰ میلی‌متر سالانه به ۷۵۰ میلی‌متر در سال ۱۳۸۷ و تداوم خشکسالی در ۵ سال بعد از آن (۱۳۸۷-۹۱) با کاهش تجمعی بارش سالانه ۲۳۵۰ میلی‌متر منجر به افت ۳۳ درصد دبی پایه گردیده است (از ۴۶ متر به ۲۴ متر مکعب). آثار زیان‌بار این خشکسالی‌ها در اثر فاکتورهای مدیریتی و دخالت‌های انسانی به شکل فزاینده‌ای تشدید شده که با توجه به غیرقابل‌پیش‌بینی بودن ولی تکرارپذیری خشکسالی‌ها به‌ویژه در چارچوب پدیده گرماش جهانی در حوضه آبی زاینده‌رود پیشنهاد می‌شود، در راهبردهای مدیریت منابع آب حوضه زاینده‌رود تجدیدنظر جدی صورت گیرد و به‌جای انتخاب راهبردهای مبتنی بر تأمین آب به سمت راهبرد اصلاح الگوی مصرف رفت؛ چراکه ادامه روند راهبرد تأمین آب تنها مصرف بیشتر ناپایداری شدیدتر اکوسیستم‌های انسانی و طبیعی موجود را در حوضه به دنبال خواهد داشت.

نتیجه‌گیری

حوضه آبخیز سد زاینده‌رود با دامنه تغییرات بارشی معادل ۱۱۶۳ میلی‌متر (اختلاف کوهرنگ و سد زاینده‌رود) با شدت بالاتری نسبت به مناطق هم‌تراز اقلیمی خود تحت تأثیر خشکسالی است. طبق مدل SWSI در حوضه طی سال‌های ۱۳۶۶-۸۸ سال آن در وضعیت خشکسالی (۳۱ درصد)، ۱۰ سال در وضعیت نرمال (۴۳ درصد) و ۶ سال در وضعیت مرطوب (۲۶ درصد) قرار گرفته‌اند. نتایج نشان می‌دهد که سال ۱۳۷۸ با ضریب $-2/55 = 2/55$ SWSI=۲/۸۸ مرطوب‌ترین سال است. تحلیل مقایسه‌ای داده‌های بارش، دبی، ذخیره‌ی حجم دریاچه، روند افزایشی دما و مقادیر آب معادل برف نشان می‌دهد که همپوشانی مناسبی به متغیرهای مدل SWSI و خشکسالی‌های اقلیمی وجود دارد. از نتایج دیگر تأثیر خشکسالی‌های اقلیمی بر روی رفتار هیدرولوژیکی حوضه در سطح اطمینان ۰/۰۵ با ضریب همبستگی ۰/۷۸ است؛ علاوه بر این طبقه‌سازی استخراجی R^2 SWSI، SPI، SDI، R، R² خشکسالی‌های اقلیمی و هیدرولوژیکی نقش مؤثری در کاهش ضریب جریان حوضه و دبی پایه آن دارد. در پایان نتیجه

منابع

11. Edossa Desalegn, Chemedu, Babel., Mukand, Singh., Gupta, and Ashim, D. 2009. Drought Analysis in the Awash River Basin, Ethiopia. Springer science + Business Media B.V, Water Resour Manage, 1441-1460.
12. Garen, David, C. 1993. Revised Surface Water Supply Index for Western United States, J. Water Res. Plann. Manage. 1993. 119: 437-454.
13. Kim, Oh. Young. and Lee. Kyoung, Jae, Palmer, Richard, N. 2012. A drought outlook study in korea, Hydrological Sciences Journal, 57(6), 1140-1153.
14. Kwon. Joong. Hyung. and Kim. Joon, Seong, 2010. Assessment of 14- 14- Distributed Hydrological Drought Based on Hydrological Unit Map Using SWSI Drought Index in South Korea, KSCE Journal of Civil Engineering, 923-929.
15. Nikbakht. Jaefar, Tabari. Hussein, 2012. Streamflow Drought Severity analysis by Percent of Normal index (PNI) in northwest Iran. Springer-Verlag.
16. Rahimi, Dariush, Mokarram, Marzieh, Danapour, Mehrdis. 2011. The Analysis of Drought Effects on Water Resources in Chaharmahal and Bakhtiari Province, Iran, American Journal of Scientific Research, 70-79.
17. Shaban .A.2008. Indicator and Aspects of Hydrological Drought in Lebanon. Springer science + Business Media B.V. Water Resour Manage 1875-1891.
18. Shafer, B.A. and Dezman, L.E.1982. Development of a Surface Water Supply Index (SWSI) to assess the severity of drought condition in snowpack runoff area, Proc. Western Snow Conf., pp 164-175.
19. Sohrabi, Mohammad, Ryu.John.H, Abatzoglou. John, and Tracy, J. 2012. Climat extrem and its Linkage to regional drought over Idaho, USA. Springer science + Business Media B.V, Nat Hazard.
1. حجازی زاده، زهرا. سعید جویزاده. ۱۳۸۹. مقدمه‌ای بر خشکسالی و شاخص‌های آن. چاپ اول، سازمان مطالعه و تدوین کتب علوم انسانی دانشگاهها (سمت)، تهران.
2. تاتینا، مرضیه. محمود روشنی و آتوسا بیگدلی. ۱۳۸۹ پایش و پنهانبندی خشکسالی در گیلان. چشم‌انداز چغافلیابی، دوره پنجم، شماره یازده، تهران.
3. شاهرخ وندی، منصور. مهران لشنى زند و معصومه خاکپور. ۱۳۸۸. بررسی خشکسالی هیدرولوژیک و ارتباط آن با بارش در حوضه رودخانه خرم‌آباد. آمایش محیط، شماره ششم، تهران.
4. کارآموز، محمد. شهاب عراقی‌نژاد. ۱۳۸۹. هیدرولوژی پیشرفت، کتابخانه آستانه مقدس حضرت فاطمه معصومه (س). قم.
5. کریمی، مهشید. کاکا شاهدی و مطلب بازیزدی. ۱۳۹۴. تحلیل خشکسالی هیدرولوژیکی با روش حد آستانه ثابت (مطالعه موردی: حوضه آبخیز کرخه). پژوهشنامه مدیریت حوضه آبخیز. دوره ششم، شماره یازدهم، ساری.
6. گل محمدی، مریم. علیرضا مساح بوانی. ۱۳۹۰. بررسی تغییرات شدت و دوره بازگشت خشکسالی حوضه قره‌سو در دوره‌های آتی تحت تأثیر تغییر اقلیم. آب و خاک (علوم و صنایع کشاورزی). دوره بیست و پنجم، شماره دوم، تهران.
7. مسعودیان، سید ابوالفضل. ۱۳۹۰. آب و هوای ایران. چاپ اول، مشهد، انتشارات شریعه توس.
8. نصرتی، کاظم. یونس کاظمی. ۱۳۹۰. پایش روزانه خشکسالی و منابع آب در اقلیم‌های مختلف ایران، مرتع و آبخیزداری (منابع طبیعی ایران)، دوره شصت و چهارم، شماره اول، تهران.
9. Araghinejad, Shahab, 2011. An Approach for Probabilistic Hydrological Drought Forecasting, water Res. Manage. 25 (9), 191-200.
10. Balling. Robert. C., Goodrich, Gregory, B. 2007. Analysis of drought determinants for the Colorado River Basin. Springer science + Business Media B.V. Climatic change 179-194.

